



ساخت و بررسی ساختار بلوری-مولکولی و طیفی یک کمپلکس لیگاند-مخلوط جدید از مس(II) با لیگاند دو دندانه ۱ و ۱۰-فنانتروولین به همراه سالیسیل آلدھید ک-بنزیل ایزوتویوسミ کربازون

میلاد محجوبیزاده^۱، رضا تکجو^{*}^۱، ژول ت. مگ^۲

۱- گروه شیمی، دانشکده علوم، دانشگاه فردوسی مشهد، صندوق پستی ۱۴۳۶-۹۱۷۷۵

۲- گروه شیمی، دانشگاه تولان، نیوورلند، لس آنجلس ۱۱۱۰، آمریکا

(دریافت مقاله: ۹۶/۳/۱۳، نسخه نهایی: ۹۶/۸/۱۰)

چکیده: کمپلکس لیگاند-مخلوط مس(II) از واکنش لیگاند سالیسیل آلدھید ک-بنزیل ایزوتویوسミ کربازون هیدروکلرید (H_2L)، نمک مس(II) استات تکآبه و ۱۰-فنانتروولین (Phen) با فرمول عمومی $[Cu(Phen)_2Cl].H_2L.Cl.H_2O$ تهیه شد. ساختار آن به وسیله-ی تجزیه‌ی عنصری و طیفسنجی فروسخ شناسایی شد و از پراش پرتوی X تک بلور به منظور شناخت بیشتر ساختار مولکولی کمپلکس مس(II) استفاده شد. در کمپلکس مس(II)، هندسه‌ی هم‌آرایی اطراف اتم مرکزی حدواسط بین هرم با قائدی مربعی و دوهرمی مثلثی است. دو لیگاند ۱ و ۱۰-فنانتروولین (دهنده‌ی NN) به صورت دو دندانه‌ی خنثی، به فلز مرکزی همتافته شده است. جایگاه پنجم با اتم کلر اشغال شده است.

واژه‌های کلیدی: باز شیف؛ ایزوتویوسミ کربازون؛ کمپلکس مس(II)؛ ساختار بلوری؛ ۱ و ۱۰-فنانتروولین.

ضد باکتری، ضد قارچ و ضد سرطان دارد [۱۱]. همچنین مکان فعال تعدادی از متالوآنزیم‌ها شامل مس(II) هستند [۱۲]. کمپلکس‌های لیگاند مخلوط مس(II) با دهنده‌های نیتروژن به عنوان "ترکیب‌های مدل" مورد بررسی قرار گرفته‌اند [۱۳، ۱۴]. لیگاندهای دهنده نیتروژن می‌توانند فعالیت‌های زیستی را در کمپلکس‌های لیگاند مخلوط بهبود بخشدند [۱۵، ۱۶].

واکنش تیوسیکی کربازید با آلکیل هالیدها، ایزوتویوسی-کربازیدها را تولید می‌کند که می‌توانند در واکنش‌های تراکمی با آلدھیدها و کتون‌ها شرکت کرده و ایزوتویوسی کربازون‌ها را تولید کنند [۱۷-۱۹]. انواع آلدھیدها یا کتون‌هایی که به منظور تهیه ایزوتویوسی کربازون‌ها یا مرکزهای فلزی مختلف از جمله مس استفاده می‌شود، بر فعالیت‌های زیستی آن‌ها تاثیر

مقدمه

از چشم‌انداز زیست معدنی، کمپلکس‌های مس به‌دلیل شباهت به متالوپروتئین‌ها به‌طور گسترده‌ای مورد بررسی قرار گرفته‌اند. این ترکیب‌های مس، به‌عنوان مکان‌های فعال زیستی بسیار بررسی شده‌اند [۱]. کمپلکس‌های مس پتانسیل بسیاری به عنوان کاتالیزور در حوزه شیمی آلی دارند [۲] و در نقش کاتالیزور در واکنش اکسایش بازها به‌وسیله‌ی پروکسی‌استیک-اسید، مورد پژوهش قرار گرفته‌اند [۳]. پژوهش پیرامون کمپلکس‌های مس، به‌دلیل خواص الکتروشیمیایی، مهارخوردگی [۴، ۵] و همچنین رفتار فیزیک نوری آنها بسیار مورد توجه است [۶]. به‌علاوه، تعداد زیادی کمپلکس‌های مس (II) با لیگاندهای باز شیف تهیه و توانایی‌های کاتالیزوری آن‌ها بررسی شده است [۷-۱۰]. برخی از ترکیب‌های مس خواص

محیط سرد شد و سپس از محلول واکنش برای بلورگیری اقدام شد. پس از سه روز، بلورهای مکعب مستطیلی سبز رنگ با بازده ۲۳/۱٪ (برایه سالیسیل آلهید-*S*-بنزیل ایزوتیوسومی-کربازون-هیدروکلرید) در یخچال بدست آمد. بلورهای مورد نظر جداسازی شده و در محیط خشک شدند.

روش‌های مشخصه یابی

طیف فروسرخ این ترکیب با دستگاه طیفسنج مدل KBr 500 در گستره‌ی $4000\text{--}600\text{ cm}^{-1}$ برای قرص N, H, S با دستگاه تجزیه شده ثبت شد. تجزیه‌ی عنصری C, N, H, S با دستگاه 1112EA ساخت شرکت Thermo Finnigan آمریکا، انجام شد. به وسیله‌ی دستگاه جفت شده (Bruker Smart APEX) با تابش $\text{Å}/0.71073$, حاصل از لامپ Mo-K α در دمای اتاق از بلورهای مناسب پراش پرتوی X جمع‌آوری شد. تحلیل ساختار با نرم‌افزار SHELLXT انجام شد [۳۲-۳۴]. تجزیه‌ی عنصری برای S, C₃₉H₃₃Cl₂CuN₇O₂S، مقدار محاسبه شده: کربن، ۵۸/۶۸٪؛ هیدروژن، ۱۷/۴٪؛ نیتروژن، ۹/۵۸٪؛ گوگرد، ۰/۴۰٪؛ مقدار تجربی: کربن، ۹/۳٪؛ هیدروژن، ۰/۴۰٪؛ نیتروژن، ۰/۱۲۶٪؛ گوگرد، ۰/۴۰٪. تجزیه‌ی عنصری برای S, C₃₉H₃₃Cl₂CuN₇O₂S، مقدار محاسبه شده: کربن، ۵۸/۶۸٪؛ هیدروژن، ۱۷/۴٪؛ نیتروژن، ۹/۵۸٪؛ گوگرد، ۰/۴۰٪. مقدار فروسرخ (cm^{-1}): KBr: ۳۲۶۴m, ۳۳۷۴w, ۳۴۴۵m, ۱۵۱۴s, ۱۵۱۴m, ۱۵۹۲m, ۱۶۵۰s, ۳۰۶۲m, ۱۲۱۴m, ۱۴۴۰m, ۱۶۵۰s, ۰/۷۶۵m, ۰/۱۱۴۳s, ۰/۱۰۴۳w.

نتایج و بحث

از تقطیر-*S*-بنزیل ایزوتیوسومی-کربازون-هیدروکلرید (H₂L) با Cu(OAc)₂·H₂O و ۱۰-فنانتروولین با نسبت مولی به ترتیب ۱:۲ در حلal اتانول، کمپلکس لیگاند مخلوط مس(II) به دست آمد. فراورده نهایی بلور سبز مکعبی با نقطه ذوب ۱۶۹ °C است. ترکیب در هوا پایدار است. نتایج فیزیکی و تحلیلی با فرمول تجربی سازگار هستند. ترکیب مس(II) حلایت خوبی در DMF و DMSO دارد و در حلایل آلی رایج مثل متانول، استون، کلرفرم و دی‌اتیل اتر، *n*-هگزان نامحلول است. بررسی بلورشناسی کمپلکس مس(II) به روش پراش پرتوی X نشان می‌دهد که ساختار ماده با ساختار پیشنهادی حدواتسط بین هرم با قائدی مرتع و دوهمری مثلثی که چهار جایگاه توسط اتم‌های دهنده نیتروژن لیگاندهای ۱ و ۱۰-فنانتروولین و جایگاه پنجم توسط اتم کلر اشغال شده است، هموارانی دارد. همچنان یک لیگاند آزاد سالیسیل آلهید-*S*-بنزیل ایزوتیوسومی-کربازون، یک اتم کلر و یک مولکول آب در شبکه بلوری آن وجود دارد. طبق بررسی‌های انجام شده، مراحل سنتز این کمپلکس به صورت شکل ۱ است.

می‌گذارد [۲۰]. بهطور کلی، ایزوتیوسومی-کربازیدها و مشتق‌های آن‌ها، در کمپلکس‌ها، فعالیت‌های ضد باکتریایی، ضد قارچی [۲۱]، ضد میکروبی، ضد سل [۲۲، ۲۳] و ضد سرطان خون [۲۴، ۲۵] از خود نشان می‌دهند. در حوزه‌ی شیمی کوئوردیناسیون، شیف بازه‌های یکی از ترکیب‌های مهم در ساخت لیگاندها هستند [۲۶، ۲۷].

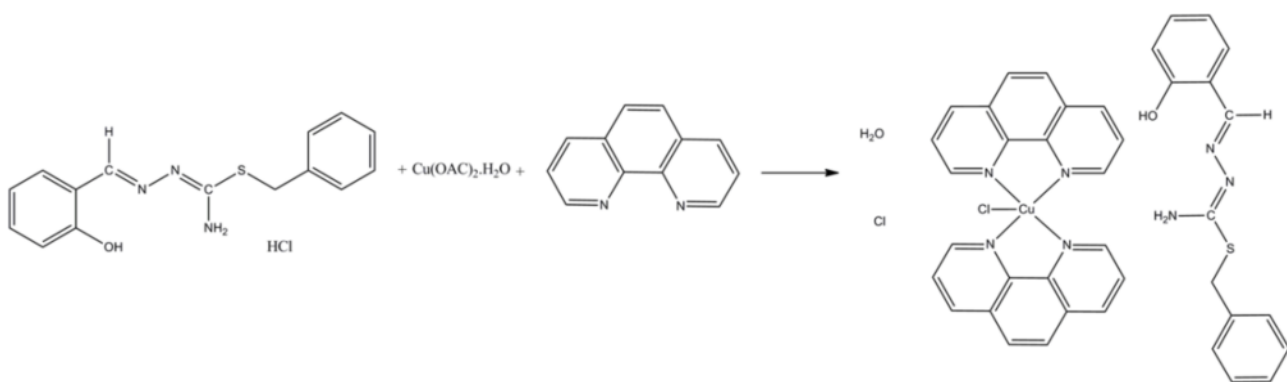
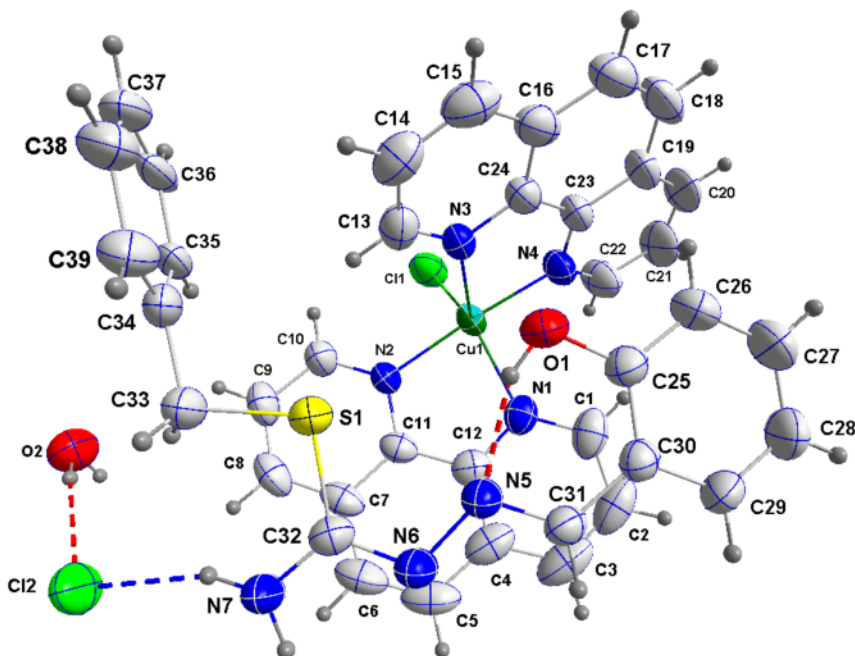
۱۰-فنانتروولین یکی از عامل‌های کی‌لیتساز موثر برای تعدادی از یون‌های فلزی است. این ترکیب به عنوان یک عامل کمپلکس‌ساز به منظور پیش تغییل یون‌های فلزی بر کربن فعال (AC) [۲۸]، سیلیکاژل (SG) [۲۹]، کربوکسیلیک اسید (COOH) که با سیلیکاژل پیوند برقرار کرده است [۳۰] و الومینا [۳۱] استفاده می‌شود.

در این پژوهش، یک کمپلکس تجزیه‌ی عنصری و طیف فروسرخ شناسایی شد. همچنین ساختار حالت جامد کمپلکس مس(II) بررسی گردید (شما ۱).

روش‌های تجربی
مواد شیمیایی مورد نیاز در این پژوهش با خلوص بالا خریداری و بدون خالص سازی بیشتر استفاده شدند.

سنتز ترکیب-*S*-بنزیل ایزوتیوسومی-کربازون-هیدروژن-کلرید
به ۵ میلی‌لیتر مخلوط تعلیقی تیوسومی-کربازید (۱/۰۰۰ گرم، ۱۱ میلی‌مول) در اتانول، ۱/۴۰۰ گرم، (۱۱ میلی‌مول) بنزیل-کلرید افزوده شد. محلول حاصل به مدت یک ساعت در حمام آب گرم در دمای ۸۰ °C، تقطیر گردید. در نهایت به این محلول شفاف زرد رنگ، ترکیب سالیسیل آلهید (۱/۳۰۰ گرم، ۱۱ میلی‌مول) افزوده شد و تقطیر به مدت یک ساعت ادامه یافت. به این محلول زرد پر رنگ اجازه داده شد تا به آرامی به دمای محیط برسد. رسوب پنبه‌ای سفید رنگ حاصل صاف شده و با اتانول سرد شسته شد. فراورده در دسیکاتور حاوی سلیکاژل در شرایط خلاء خشک گردید.

سنتز ترکیب O[Cu(Phen)₂Cl]₂·H₂L, Cl, H₂O
۱۰ میلی‌لیتر مخلوط تعلیقی اتانولی سبز رنگ از لیگاند سالیسیل آلهید-*S*-بنزیل ایزوتیوسومی-کربازون-هیدروکلرید (۰/۱۵ mmol)، نمک مس (۰/۱۵ mg)، (۰/۱۵ mmol) و نمک مس (۰/۱۵ mg) به مدت ۱۵ دقیقه همزده شد و ترکیب فنانتروولین (۰/۳۳ mmol، ۰/۶۰ mg) به ظرف واکنش، اضافه گردید. محلول سبز رنگ واکنش به مدت یک ساعت در دمای ۸۰ °C، تقطیر شد. پس از اتمام واکنش، ظرف واکنش در دمای

شماتیک ۱ مراحل تهیه کمپلکس $[\text{Cu}(\text{Phen})_2\text{Cl}]\cdot\text{H}_2\text{L}, \text{Cl}, \text{H}_2\text{O}$ شکل ۱ نمایی از ترکیب $[\text{Cu}(\text{Phen})_2\text{Cl}]\cdot\text{H}_2\text{L}, \text{Cl}, \text{H}_2\text{O}$

باعث ظهور یک نوار با شدت متوسط در 1592 cm^{-1} می‌شود. بسامد ارتعاش‌های کشنشی متقارن و نامتقارن گروه NH_2 در 3264 cm^{-1} و 3374 cm^{-1} دیده می‌شود. نوار تیز در 1650 cm^{-1} ، به احتمال زیاد مربوط به بسامد ترکیبی دو ارتعاش $\nu(\text{C}=\text{N}) + \delta(\text{NH}_2)$ است. خمش خارج از صفحه پیوند $\text{C}-\text{S}$ در 765 cm^{-1} قبل مشاهده است. نوار جذبی مشاهده شده در 1043 cm^{-1} مربوط به ارتعاش کشنشی ($\nu(\text{N-N})$) و قله قوی مشاهده شده در 1514 cm^{-1} نیز به احتمال زیاد مربوط به ترکیب ارتعاش‌های ($\nu(\text{C}=\text{N}) + \nu(\text{C}=\text{C})$) است. حذف نشدن بسامد کشنشی مربوط به گروه OH لیگاند H_2L (3062 cm^{-1}) بیانگر کوئردینه نشدن اتم اکسیژن فنولی به اتم فلز مرکزی (C=N) است. ارتعاش کشنشی پیوند آزمتینی (C=O) مربوط به اکسیژن فنولی به اتم فلز مرکزی (C=N) است.

بررسی طیف فروسرخ

در طیف فروسرخ ترکیب مس(II)، در 3062 cm^{-1} نوار ارتعاش کشنشی گروه عاملی هیدروکسید فنولی مشاهده می‌شود. این جذب بهدلیل برقراری پیوند هیدروژنی درون مولکولی بین گروه هیدروکسیل فنولی و نیتروژن هیدرازینی (N5) در بسامدهای کمتر از مقدار قابل انتظار ظاهر می‌شود. ارتعاش‌های بسیار ضعیف در گستره 2600 cm^{-1} تا 2900 cm^{-1} به پیوند C-H حلقه‌ی آромاتیک نسبت داده می‌شود، هم چنین نوار جذبی مربوط به ($\nu(\text{C}=\text{C})$) در 1440 cm^{-1} دیده می‌شود. بسامد جذبی مشاهده شده در 1143 cm^{-1} مربوط به ارتعاش کشنشی پیوند C-O است. ارتعاش کشنشی پیوند آزمتینی (C=N) است.

جدول ۱ آورده شده است. طول و زاویه پیوندهای انتخاب شده در جدول ۲ خلاصه شده است. این بلور در سیستم سه میلی با گروه فضایی $\bar{1}P$ با پارامترهای یاخته یکه $a = 10,878(2)$ Å, $\alpha = 98,286(3)^\circ$, $c = 16,267(3)$ Å, $b = 11,457(2)$ Å, $\beta = 103,025(3)^\circ$, $\gamma = 109,189(3)^\circ$ است، از این رو کمپلکس آرایش حدواسط بین هرم با قائدی مربع و دوهرمی مثلثی اطراف یون فلز مرکزی دارد [۳۷]. لیگاند به عنوان یک عامل دهنده نیتروژن دو دندانه‌ی خنثی رفتار می‌کند. فضای هم آرایی شامل چهار اتم نیتروژن خنثی دو مولکول ۱۰-فنانترولین است. جایگاه باقیمانده ساختار توسط اتم کلر اشغال می‌شود.

است. انرژی مدهای حلقه ۱ و ۱۰-فنانترولین ($\nu(CC)$) و $\nu(CN)$ در 1620 cm^{-1} , 1505 cm^{-1} , 1419 cm^{-1} , 1293 cm^{-1} و 1293 cm^{-1} با کمپلکس شدن با مس (II) افزایش می‌یابد، در حالی که نوار نزدیک به ناحیه‌ی 1514 cm^{-1} تقریباً بدون تغییر می‌ماند [۳۶, ۳۵]. نوار 1588 cm^{-1} به ارتعاش تنفسی پیریدین نسبت داده می‌شود. نوار مشاهده شده در 3445 cm^{-1} به وجود آب در شبکه نسبت داده می‌شود.

بررسی ساختار بلوری ترکیب $[\text{Cu}(\text{Phen})_2\text{Cl}]\text{H}_2\text{L},\text{Cl},\text{H}_2\text{O}$ ساختار کمپلکس مس (II) به وسیله‌ی پراش پرتوی X تک بلور بدست آمد. ساختار مولکولی کمپلکس مس (II) در شکل ۱ نشان داده شده است. داده‌های بلورشناسی این ترکیب در

جدول ۱ داده‌های بلورشناسی مربوط به ترکیب $[\text{Cu}(\text{Phen})_2\text{Cl}]\text{H}_2\text{L},\text{Cl},\text{H}_2\text{O}$

فرمول	$\text{C}_{39}\text{H}_{37}\text{Cl}_7\text{CuN}_7\text{O}_7\text{S}$
F_w	۷۹۸,۲۲
a (Å)	۱۰,۸۷۸(۲)
b (Å)	۱۱,۴۵۷(۲)
c (Å)	۱۶,۲۶۷(۳)
α (deg)	۹۸,۲۸۶(۳)
β (deg)	۱۰۳,۰۲۵(۳)
γ (deg)	۱۰۹,۱۸۹(۳)
space group	$P\bar{1}$
D_{calcd} (g/cm ³)	۱,۴۶۲
Z	۴
crystal system	سه میلی
volume (Å ³)	۱۸۱۲,۲(۷)
F(000)	۸۲۲
ضریب جذب (mm ⁻¹)	۰,۸۵۴
Reflns .collected	۱۷۲۳۴
unique reflns.	۸۷۵۰
شاخص نیکویی برآش	۱,۰۰۰
R_{int}	۰,۰۳۲۰
R_1 [$I > 2\sigma(I)$]	۰,۰۴۷۱
wR_2 [$I > 2\sigma(I)$]	۰,۱۱۲۷
R_1 (all data)	۰,۰۸۵۶
wR_2 (all data)	۰,۱۲۶۶
largest diff. peak and hole (eÅ ^{-۳})	۰,۵۰۰ و -۰,۳۱۰

جدول ۲ گریدهای از طول (Å) و زاویه‌های (°) پیوندی در ترکیب [Cu(Phen)₂Cl].H₂L.Cl.H₂O

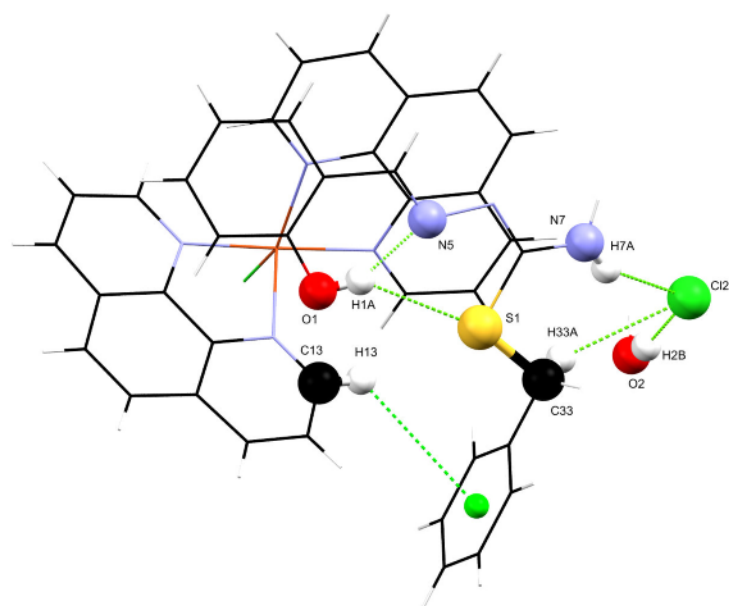
	طول پیوند Å		(°) زاویه پیوند
Cu1-N1	۲,۰۸۷(۲)	N1-Cu1-N4	۹۳,۸۴(۹)
Cu1-N2	۱,۹۹۳۳(۱۹)	N4-Cu1-N3	۷۹,۹۷(۸)
Cu1-N3	۲,۱۶۷(۲)	N3-Cu1-N2	۹۷,۸۳(۸)
Cu1-N4	۱,۹۹۱(۲)	N2-Cu1-N1	۸۱,۰۱(۸)
Cu1-Cl1	۲,۲۸۳۰(۹)	N1-Cu1-Cl1	۱۴۱,۵۹(۶)
		N4-Cu1-Cl1	۹۲,۸۱(۷)
		N3-Cu1-Cl1	۱۰۶,۵۱(۶)
		N2-Cu1-Cl1	۹۳,۹۵(۶)

نشان داده شده است. این پدیده ممکن است به دلیل آثار فضایی باشد. طول و زاویه‌های پیونددهای هیدروژنی در جدول ۳ ارائه شده است. در واحد بی‌تقارن این ترکیب، شش برهمنکش N7-، O1-H1A-S1، O1-H1A-N5، O1-H1A-Cl2، C33-H33A-Cl2، H7A-Cl2 Å، ۲,۹۳۸ Å، ۱,۸۱۱ Å، ۳,۴۲۹ Å، ۲,۹۳۴ Å، ۲,۳۹۴ Å، ۲,۳۴۹ Å و ۲,۹۳۴ Å وجود دارد (شکل ۲). در این کمپلکس، پیونددهای هیدروژنیⁱ O1-H15-Cl1 و C15-H15-O1ⁱⁱ و symmetry code *i*: 1-*x*, 1-*y*, -*z*; *ii*: 1-) N7-H7B-Cl2ⁱⁱⁱ Å، ۲,۱۱۳ Å به ترتیب با طول پیونددهای^v ۲,۳۹۱ Å و ۲,۳۹۱ Å به ترتیب با طول پیونددهای^v ۲,۳۹۱ Å و ۲,۳۹۱ Å سبب گسترش یک بعدی این بلور در جهت محور *c* می‌شوند (شکل ۳). برهمنکش (C34-C39)^{vi} : C20-H20-π^{vii} Å، ۲,۸۶۵ Å با طول پیوند Å به ترتیب با طول پیوند Å^{viii} ۲,۸۶۵ Å سبب رشد دو بعدی این بلور در جهت محور *a* می‌شود (شکل ۴). همچنین در این کمپلکس، پیوند هیدروژنی C2-Cl2^{ix} Å، ۲,۹۱۸ Å سبب گسترش بعد سوم این بلور در جهت محور *b* می‌شود (شکل ۵).

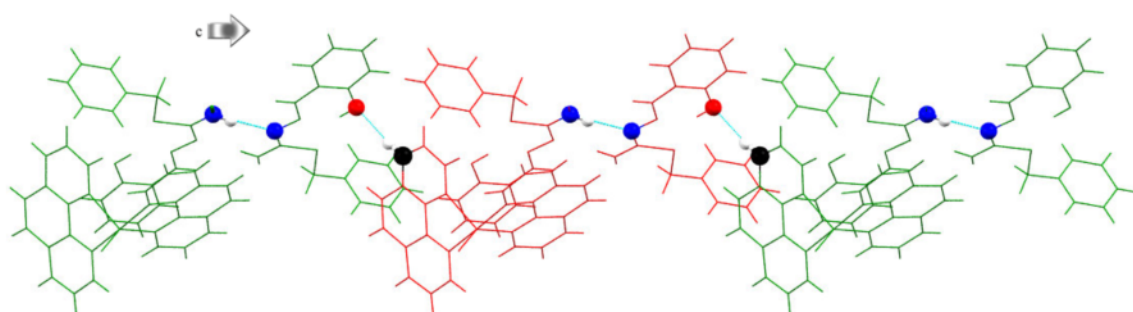
پیونددهای دهنده مس Cu1-N3، Cu1-N2، Cu1-N1 و Cu1-Cl1 به ترتیب با طول پیونددهای (۲,۰۸۷(۲)، ۱,۹۹۳۳(۱۹)، ۲,۱۶۷(۲)، ۱,۹۹۱(۲) و ۲,۲۸۳۰(۹) Å) هستند، که توسط مقادیر مشاهده شده برای این دسته از کمپلکس‌های مس (II) تایید می‌شود [۳۸، ۳۷]. هشت زاویه‌ی پیوندی N1-Cu1-N3، N2-Cu1-N1، N3-Cu1-N2، N4-Cu1-N3، Cu1-N4، N2-Cu1-N1 و N3-Cu1-Cl1، N4-Cu1-Cl1، N1-Cu1-Cl1، Cl1 پیرامون اتم فلز مرکزی به ترتیب دارای مقادیر ۹۳,۸۴(۹)°، ۹۷,۸۳(۸)°، ۷۹,۹۷(۸)°، ۸۱,۰۱(۸)°، ۹۲,۸۱(۷)°، ۱۴۱,۵۹(۶)°، ۹۲,۸۱(۷)°، ۱۰۶,۵۱(۶)° و ۹۳,۹۵(۶)° هستند. اختلاف معنادار بین دو زاویه‌ی N2-Cu1-N1، N4-Cu1-N3 و دو زاویه N3-Cu1-N2، N1-Cu1-N4 به دلیل تشکیل حلقه‌ی پنج عضوی کی لیست است. این مشاهده برای کمپلکس-های مس (II) دیگر نیز گزارش شده است [۴۰]. جالب این است که اتم کلر به اتم N4 حلقه او ۱۰۱-فناخترولین نزدیکتر است، چنان که با مقایسه زاویه‌ی N4-Cu1-Cl1، N3-Cu1-Cl1، N1-Cu1-Cl1 و زاویه‌های N1-Cu1-Cl1 (۹۲,۸۱(۷)°)، N2-Cu1-Cl1 (۹۳,۹۵(۶)°) و N2-Cu1-Cl1 (۱۰۶,۵۱(۶)°) و Cu1-Cl1 (۹۳,۹۵(۶)°) و

جدول ۳ جزئیات پیوند هیدروژنی (طول پیوند بر حسب Å).

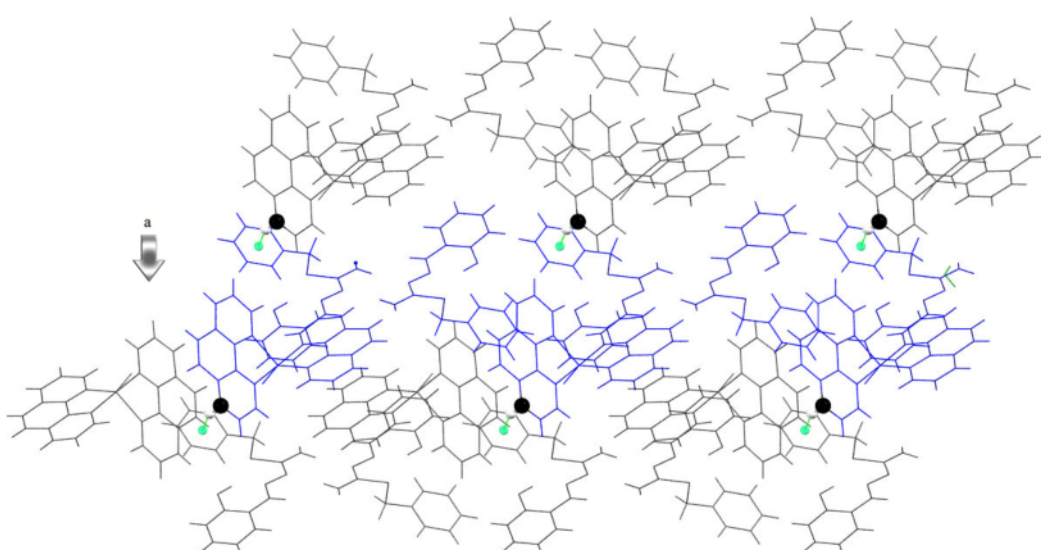
D-H...A	d(D-H)	d(H...A)	d(D-A)	<(DHA)
O1-H1A...S1	۰,۸۷	۲,۹۴	۳,۶۱۷(۲)	۱۳۶,۳
O1-H1A...N5	۰,۸۷	۱,۸۱	۳,۶۱۲(۳)	۱۵۲,۰
N7-H7A...Cl2	۰,۹۱	۲,۳۹	۳,۲۵۴(۲)	۱۵۷,۴
N7-H7B...N6	۰,۹۱	۲,۱۱	۳,۰۱۲(۳)	۱۶۹,۶
O2-H2B...Cl2	۰,۸۷	۲,۳۵	۳,۲۰۳(۲)	۱۶۷,۱
O2-H2A...Cl2	۰,۸۷	۲,۴۶	۳,۳۳۲(۳)	۱۷۶,۷



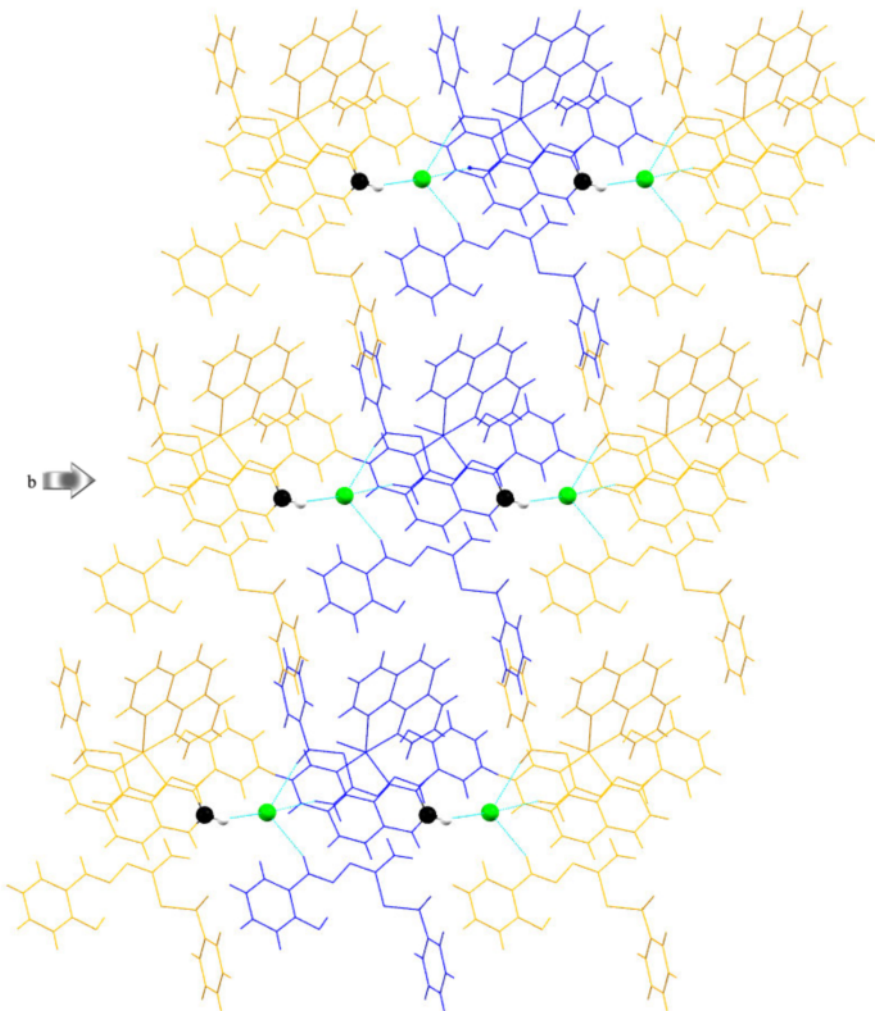
شکل ۲ برهمنش‌های درون مولکولی در ترکیب $[\text{Cu}(\text{Phen})_2\text{Cl}]\cdot\text{H}_2\text{L}, \text{Cl}, \text{H}_2\text{O}$



شکل ۳ گسترش یک بعدی کمپلکس $[\text{Cu}(\text{Phen})_2\text{Cl}]\cdot\text{H}_2\text{L}, \text{Cl}, \text{H}_2\text{O}$ از طریق پیوندهای هیدروژنی $\text{C}15-\text{H}15\cdots\text{O}1^i$ و $\text{N}7-\text{H}7\text{B}\cdots\text{N}6^{ii}$.(symmetry code $i: 1-x, 1-y, -z$; $ii: 1-x, 1-y, 1-z$)



شکل ۴ رشد دو بعدی کمپلکس $[\text{Cu}(\text{Phen})_2\text{Cl}]\cdot\text{H}_2\text{L}, \text{Cl}, \text{H}_2\text{O}$ از طریق برهمنش $(\text{C}20-\text{H}20\cdots\pi : \text{C}34-\text{C}39)\text{C}_{\text{iii}}^{iii}$.(symmetry code $iii: x, y, 1+z$)



شکل ۵ گسترش سه بعدی کمپلکس از طریق پیوند هیدروژنی symmetry code *iv*:) C2-H2^{iv}-Cl2^{iv} درون مولکولی [Cu(Phen)₂Cl].H₂L,Cl,H₂O (II). آن با ترکیب N7-O1-H1A-N5, O1-H1A-S1, C13-C2-O2-H2B-Cl2, C33-H33A-Cl2, H7A-Cl2 در واحد بی تقارن این ترکیب وجود دارد. در این کمپلکس، پیوندهای هیدروژنی C15-H15-O1ⁱ و N7-H13ⁱⁱ انجام شد. به علاوه، پراش پرتوی X برای شناسایی کمپلکس فلزی انجام شد. تجزیه‌های عنصری کربن، هیدروژن، نیتروژن و گوگرد با مقادیر نظری همخوانی خوبی دارند. از بلورشناسی پرتوی X نتیجه گرفته می‌شود که هر یک از دو لیگاند ۱,۰-فنانترولین به عنوان یک کلیت دو دندانه‌ی خنثی از طریق دو اتم نیتروژن به فلز مرکزی و همچنان یک اتم کلر به فلز مرکزی کوئوردینه شده است. نتایج یک ترکیب

برداشت

پنج کوئوردینه حدواتسط بین هرم با قائدی مربع و دوهمری مثلثی را برای مس نشان می‌دهند. همچنان شش برهمنش درون مولکولی N7-O1-H1A-N5, O1-H1A-S1, C13-C2-O2-H2B-Cl2, C33-H33A-Cl2, H7A-Cl2 در واحد بی تقارن این ترکیب وجود دارد. در این کمپلکس، پیوندهای هیدروژنی C15-H15-O1ⁱ و N7-H13ⁱⁱ انجام شد. به علاوه، پراش پرتوی X برای شناسایی کمپلکس فلزی انجام شد. تجزیه‌های عنصری کربن، هیدروژن، نیتروژن و گوگرد با مقادیر نظری همخوانی خوبی دارند. از بلورشناسی پرتوی X نتیجه گرفته می‌شود که هر یک از دو لیگاند ۱,۰-فنانترولین به عنوان یک کلیت دو دندانه‌ی خنثی از طریق دو اتم نیتروژن به فلز مرکزی و همچنان یک اتم کلر به فلز مرکزی کوئوردینه شده است. نتایج یک ترکیب

یک لیگاند دهنده نیتروژن متقارن (Phen) و کمپلکس مس (II) آن با ترکیب [Cu(Phen)₂Cl].H₂L,Cl,H₂O تهیه شد. کمپلکس فلزی به وسیله تجزیه‌ی عنصری و طیفسنجی فروسخ شناسایی شد. به علاوه، پراش پرتوی X برای شناسایی کمپلکس فلزی انجام شد. تجزیه‌های عنصری کربن، هیدروژن، نیتروژن و گوگرد با مقادیر نظری همخوانی خوبی دارند. از بلورشناسی پرتوی X نتیجه گرفته می‌شود که هر یک از دو لیگاند ۱,۰-فنانترولین به عنوان یک کلیت دو دندانه‌ی خنثی از طریق دو اتم نیتروژن به فلز مرکزی و همچنان یک اتم کلر به فلز مرکزی کوئوردینه شده است. نتایج یک ترکیب

towards molecular oxygen”, Synthetic Metals 161 (2011) 1377-1382.

[7] Pardey A.J., Rojas A.D., Yáñez J.E., Betancourt P., Scott C., Chinea C., Urbina C., Moronta D., Longo C., “*Spectroscopic characterization of coordination complexes based on dichlorocopper(II) and poly(4-vinylpyridine): Application in catalysis*”, *Polyhedron* 24 (2005) 511-519.

[8] Hakimi M., Vahedi H., Takjoo R., Rezaeifard A., “*Nanoporous Silica Supported Novel Copper(II) Thiosemicarbazone Complexes as Selective and Reusable Catalysts for Oxidation of Alcohols Using H₂O₂*”, *International Journal of ChemTech Research* 4 (2012) 1658-1665.

[9] Hu Z., Kerton F.M., “*Room temperature aerobic oxidation of alcohols using CuBr₂ with TEMPO and a tetradentate polymer based pyridyl-imine ligand*”, *Applied Catalysis A: General* 413-414 (2012) 332-339.

[10] Heshmatpour F., Rayati S., Afghan H.M., Abdolalian P., Neumueller B., “*Copper(II) Schiff base complexes derived from 2,2'-dimethyl-propandiamine: Synthesis, characterization and catalytic performance in the oxidation of styrene and cyclooctene*”, *Polyhedron* 31(2012) 443-450.

[11] Wang Q., Bi C.F., Fan Y.H., Zhang X., Zuo J., Liu S.B., “*A novel copper(II) complex with Schiff base derived from o-vanillin and L-methionine: Syntheses and crystal structures*”, *Russian Journal of Coordination Chemistry* 37 (2011) 228-234.

[12] Arion V.B., Rapta P., Telser J., Shova S.S., Breza M., Lušpaj M., J. Kožíšek. “*Syntheses, Electronic Structures, and EPR/UV-Vis-NIR Spectroelectrochemistry of Nickel(II), Copper(II), and Zinc(II) Complexes with a Tetradentate Ligand Based on S-Methylisothiosemicarbazide*”, *Inorganic Chemistry* 50 (2011) 2918-2931.

[13] Tong M.L., Li L.J., Mochizuki K., Chang H.C., Chen X.M., Kitagawa S., “*A novel three-dimensional coordination polymer constructed with mixed-valence dimeric copper(I,II) units*”, *Chemical Communications* (2003) 428-429.

[14] King P.B., *Encyclopedia of Inorganic Chemistry*, John Wiley & Sons, New York, NY (1994) 829.

در آخر پیوند هیدروژنی $\text{C}2\text{-H}2\cdots\text{Cl}2^{iv}$ symmetry code) $\text{C}2\text{-H}2\cdots\text{Cl}2^{iv}$ سبب گسترش سه بعدی این بلور می شود.

قدردانی

نویسنده‌گان این مقاله، مراتب قدردانی خود را از حمایت‌های مالی دانشگاه فردوسی مشهد در انجام این پژوهه (طرح ۳۷۰۱۴) ابراز می‌کنند.

کد CCDC ۱۵۴۴۰۹۷ حاوی داده‌های بلورشناسی برای این ترکیب است که می‌تواند بدون هزینه از www.ccdc.cam.ac.uk/data_request/cif بارگذاری شود.

مراجع

- [1] Cotelesage J.J.H., Pushie M.J., Grochulski P., Pickering I.J., George G.N., “*Metalloprotein active site structure determination: Synergy between X-ray absorption spectroscopy and X-ray crystallography*”, *Journal of Inorganic Biochemistry* 115 (2012) 127-137.
- [2] Pathan N.B., Rahatgaonkar A.M., Chorghade M.S., “*Metal-organic framework Cu₃(BTC)₂(H₂O)₃ catalyzed Aldol synthesis of pyrimidine-chalcone hybrids*”, *Catalysis Communications* 12 (2011) 1170-1176.
- [3] Gradinaru J., Forni A., Simonov Y., Popovici M., Zecchin S., Gdaniec M., Fenton D.E., “*Mononuclear nickel(II) and copper(II) complexes with Schiff base ligands derived from 2,6-diformyl-4-methylphenol and S-methylisothiosemicarbazones*”, *Inorganica Chimica Acta* 357 (2004) 2728-2736.
- [4] Naskar J.P., Guhathakurta B., Lu L., Zhu M., “*Oximato bridged dinuclear copper(II) complexes: Synthesis, crystal structure, magnetic, thermal, electrochemical aspects and BVS analysis*”, *Polyhedron* 43 (2012) 89-96.
- [5] Aytaç A., “*Cu(II), Co(II) and Ni(II) complexes of -Br and -OCH₂CH₃ substituted Schiff bases as corrosion inhibitors for aluminum in acidic media*”, *Journal of Materials Science* 45 (2010) 6812-6818.
- [6] Jia J., Tian Y., Li Z., “*Mesoporous silica doped with a chemosensor based on phosphorescent copper(I) complex: Synthesis, characterization, photophysical property, and sensing behavior*

- [24] Atasever B., Ulküseven B., Bal-Demirci T., Erdem-Kuruca S., Solakoğlu Z., "Cytotoxic activities of new iron(III) and nickel(II) chelates of some S-methyl-thiosemicarbazones on K562 and ECV304 cells", *Investigational New Drugs* 28 (2010) 421-432.
- [25] Belicchi-Ferrari M., Bisceglie F., Casoli C., Durot S., Morgenstern-Badarau I., Pelosi G., Pilotti E., Taras-coni P., "Copper(II) and Cobalt(III) Pyridoxal Thiosemicarbazone Complexes with Nitroprusside as Counterion: Syntheses, Electronic Properties, and Antileukemic Activity", *Journal of Medicinal Chemistry* 48 (2005) 1671-1675.
- [26] Makode J.T., Yaul A.R., Bhadange S.G., Aswar A.S., "Physicochemical characterization, thermal, and electrical conductivity studies of some transition metal complexes of bis-chelating Schiff base", *Russian Journal of Inorganic Chemistry* 54 (2009) 1372-1377.
- [27] Takjoo R., Ramsami P., Mague J., Hasani Z., Rhyman L., "Dioxidomolybdenum(VI) complexes of allyl N'-2-hydroxy-3-methoxybenzylidene carbamoylhydrazone thioate: Synthesis, spectral, and theoretical investigations", *Journal of Coordination Chemistry* 69 (2016) 1100-1109.
- [28] Mikula B., Puzio B., "Determination of trace metals by ICP-OES in plant materials after preconcentration of 1,10-phenanthroline complexes on activated carbon", *Talanta*, 71 (2007) 136-140.
- [29] Mikula B., Puzio B., & Feist B., "Preconcentration of Cd(II), Pb(II), Co(II), Ni(II), and Cu(II) by solid-phase extraction method using 1,10-phenanthroline", *Journal of Analytical Chemistry* 64 (2009) 786-790.
- [30] Mikula B., Puzio B., Feist B., "Application of 1,10-phenanthroline for preconcentration of selected heavy metals on silica gel", *Microchimica Acta* 166 (2009) 337-341.
- [31] Shabani A.M.H., Dadfarnia S., Dehghani Z., "On-line solid phase extraction system using 1,10-phenanthroline immobilized on surfactant coated alumina for the flame atomic absorption spectrometric determination of copper and cadmium", *Talanta* 79 (2009) 1066-1070.
- [15] Feng-Tai Chen C., Tang G.-R., Jin G.-X., "Novel nickel(II) and copper(II) complexes with phenoxy-imidazole ligands: Syntheses, crystal structures and norbornene addition polymerization", *Journal of Organometallic Chemistry* 692 (2007) 3435-3442.
- [16] Takjoo R., Mague J., Akbari A., Ebrahimipour S.Y., "Synthesis, structural, and thermal analyses of copper(II) and oxido-vanadium(IV) complexes of 4-bromo-2-((5-chloro-2-hydroxyphenyl)imino)methylphenol", *Journal of Coordination Chemistry* 66 (2013) 2852-2862.
- [17] Kurt Y.d., Ulküseven B., Tuna S., Ergüven M., Solakoğlu S., "Iron(III) and nickel(II) template complexes derived from benzophenone thiosemicarbazones", *Journal of Coordination Chemistry* 62 (2009) 2172-2181.
- [18] Kurt Y.D., Ulküseven B., "Unusual template condensation of benzophenone thiosemicarbazones and salicylaldehydes with nickel(II)", *Journal of Coordination Chemistry* 63 (2010) 828-836.
- [19] Refat M.S., El-Deen I.M., Anwer Z.M., El-Ghol S., "Spectroscopic studies and biological evaluation of some transition metal complexes of Schiff-base ligands derived from 5-arylazo-salicylaldehyde and thiosemicarbazide", *Journal of Coordination Chemistry* 62 (2009) 1709-1718.
- [20] Beraldo H., Gambino D. "The wide pharmacological versatility of semicarbazones, thiosemicarbozones and their metal complexes", *Mini-Reviews in Medicinal Chemistry* 4 (2004) 31.
- [21] Kizilcikli İ., Kurt Y.D., Akkurt B., Genel A.Y., Birteksz S., Ulküseven B., "Antimicrobial activity of a series of thiosemicarbazones and their ZnII and PdII complexes", *Folia Microbiologica*, 52 (2007) 15-25.
- [22] Cocco M.T., Congiu C., Onnis V., Pellerano M.L., Logu A. De., "Synthesis and antimycobacterial activity of new S-alkylisothiosemicarbazone derivatives", *Bioorganic and Medicinal Chemistry*, 10 (2002) 501-506.
- [23] Amit N., Rahul J., "Recent Advances in New Structural Classes of Anti-Tuberculosis Agents", *Current Medicinal Chemistry* 12 (2005) 1873-1886.

- methylbenzimidazol-2'-yl)-2,6-dithiaheptane] copper (II) perchlorate", Journal of the Chemical Society, Dalton Transactions. (1984) 1349-1356.*
- [38] Galesic N., Trojko R., Leovac V.M., "Structure of (2,4-dihydroxybenzaldehyde S-methylisothiosemicarbazone) isothiocyanato Copper(II)-dihydrate", Zeitschrift Für Kristallographie 203 (1993) 57-66.
- [39] Takjoo R., Akbari A., Ahmadi M., Amiri Rudbari H., Bruno G., "New 5-bromo-2-hydroxybenzaldehyde S-ethylisothiosemicarbazone and its mixed-ligand Cu(II) complex with imidazole: synthesis, characterization and DFT calculation", Central European Journal of Chemistry (11) (2013) 1844-1851.
- [40] Bourosh P.N., Zhovmir F.K., Simonov Y.A., Dvorkin A.A., Gerbeleu N.V., "Crystalline and molecular-structure of S-methyl-N'-(3-carboxysalicylidene)isothiosemicarbazidato-O,N^l,N⁴(2-)-(ammine) Copper(II)", Koordinatsionnaya Khimiya 19 (1993) 864-867.
- [32] Bruker-AXS3, SADABS, SAINT, SHELXTL, Madison, WI , 2016.
- [33] Sheldrick G. M., SHELXT, Acta Crystallographica Section A 71 (2015a) 3-8.
- [34] Sheldrick G. M., SHELXL-2014, Acta Crystallographica Section C 71 (2015b) 3-8.
- [35] Ueno K., Martell A.E., "Infrared study of metal chelates of bisacetylacetoneethylenediamine and related compounds", Journal of Physical Chemistry 59 (1955) 998-1004.
- [36] Campos-Vallette M.M., Clavijo R.E., Mendizabal F., Zamudio W., Baraona Ruth, Diaz G., "Infrared spectrum of the bis-(1,10-phenanthroline) Cu(I) and Cu(II) perchlorate complexes", Vibrational Spectroscopy 12 (1996) 37-44.
- [37] Addison A. W., Rao N. T., Reedijk J., van Rijn J., Verschoor G. C., "Synthesis, structure, and spectroscopic properties of copper(II) compounds containing nitrogen-sulphur donor ligands; the crystal and molecular structure of aqua[1,7-bis(N-